

報文  
화학공학, 제10권 제5호  
J. KICHE, Vol. 10, No. 5  
Oct. 1972

## 酢酸-水-1-Butanol 과 iso-Propyl ether 의 液-液平衡

南 世 宗\*

### Study on Mixed Solvent; Liquid-Liquid Equilibria of Acetic acid-Water-1-Butanol and iso-Propyl ether

\*Sejong Nam

Dept. of Chem. Eng., Inha Univ.

#### Abstract

The mutual solubility and the tie-line data were obtained at 25°C and 1 atm. for ternary and quaternary systems of acetic acid (solute), water (diluent), and six different solvents. A good linear relationship of the Fujita-Hirata plot was obtained using those six solvents; 1-butanol, isopropyl ether, and 75 vol %, 50 vol %, 25 vol %, and 10 vol % of 1-butanol in isopropyl ether. The product of the distribution ratio and the selectivity,  $M'_A \times \beta_A$ , was plotted against the volume percent of isopropyl ether to determine the optimum mixing ratio of isopropyl ether which was found to be 69 ± 2 % by volume.

#### 1. 緒論

抽出에 있어서 抽液中の 原溶媒의 溶解度를 減少시키고 溶質의 濃度를 높이기 위하여 即 分配係數와 選擇度를 改善하기 위하여 反溶媒物質을 溶媒에 加한 混合溶媒를 使用하는 境遇가 應用되고 있다.<sup>1), 2)</sup> 이론 境遇에는 4成分系가 되나 混合溶媒를 1成分처럼 看做하여 3成分系로 取扱하는 것이 常例이며 또한 便利하다.<sup>2)</sup> 이러한 系에 對한 tie line data는 單一成分溶媒일 때의 相關方法을 그대로 適用할 수 있는지, 또 抽出을 위한 混合溶媒의 最適混合比는 어떤 方法으로 決定할 것인지 아직 明示되어 있지 않다. 다만 溶媒選擇의 例는 數種이 있으나<sup>3), 4), 5)</sup> 그 중에서도 잘 引用되는 것은 Skrzec-Murphy의 液-液平衡 data이다.<sup>4)</sup> 그들은 酢酸-水溶液으로 부터 酢酸을 抽出하는 데 數種의 溶媒中에서 1-butanol은 分配係數는 最大이지만 選擇度는 大端히

적으며, iso-propyl ether은 選擇度는 最大이지만 分配係數가 적어서 둘다 溶媒로써 適合하지 않음을 指摘하였다. 그러나 著者は 1-butanol과 iso-propyl ether을 여러가지 比率로 混合한 數種의 混合溶媒에 對한 酢酸水의 相互溶解度와 平衡을 測定하여 選擇度와 分配係數의 變化와 平衡 data의 相關方法을 檢討하였고 混合溶媒의 最適混合比를 새로이 決定하였다.

#### 2. 實驗

##### 2-1 試藥

酢酸, 1-butanol, iso-propyl ether은 MERCK社製

Table 1. Density of the Chemicals Used

Density 25°C		
Chemical	Expt.	Lit. <sup>3)</sup>
Acetic acid	1.04352	1.04365
1-Butanol	0.80494	0.80849
iso-propylether	0.72274	0.72274

\* 仁荷大學 化學工學科

特級을 사용했으며 水는 ion 交換水를 蒸溜하여 使用했다. 이들 試藥의 比重을 文獻值와 比較하면 다음 Table 1과 같다.

## 2-2 實驗裝置 및 實驗方法

相互溶解度의 測定은 既往의 方法에<sup>6)</sup> 다음의 修正을 加하여 實施했다. 即 實驗誤差의 누적을 避하기 위하여 各點을 獨立의 으로 滴定했으며 滴定中에는 蒸發을 防止하도록 配慮하였다. 裝置는 Fig. 1의 略圖와 같다. 3角 플라스크에豫備實驗으로豫知한 大略의

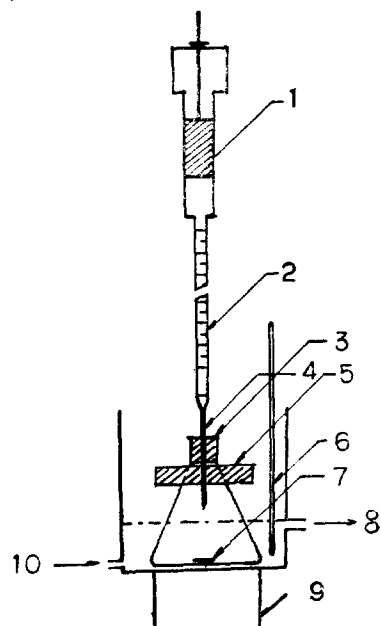


Fig. 1 Schematic View of Titration Apparatus  
 1. Injection Syringe  
 2. Micro burette  
 3. Silicon gum stopper  
 4. Needle  
 5. Weight for fixing  
 6. Thermometer  
 7. Magnetic bar  
 8. Water  
 9. Magnetic stirrer  
 10. Water in

이를 終末點으로 確定하였다. 이렇게 決定한 終末點은 溶質-原溶媒(혹은 溶媒)의 透明液에 溶媒(혹은 原溶媒)를 滴加하여 潑點이 생기는 點과는 約  $\pm 0.0025$  ml 이었으므로 binodal curve의 兩端部分에서는 이 두 方法을 併用하였다. 또한 滴定時에는 플라스크 후면에 적은 光源을 두워 混濁의 生成을 容易하게 觀察할 수 있도록 하였다.

平衡의 測定은 溶質-原溶媒-混合溶媒를 各各計量하여 단은 2相混合物 約 20 ml를 30 ml 試驗管에 넣어 silicon-gum 마개를 한다음 恒溫槽에 담가서 25.0°C가 되면 激熱히 震盪混合하여 다시 恒溫槽中에 넣어 2液層으로 完全히 分離되면 注射針을 끝에 달은 pepette로 吸取杯量한 다음 0.1N KOH 溶液으로 滴定하여 溶質인 酢酸의 質量分率를 求하였다. 이 값과 binodal curve로 부터 兩液相의 全組成을 求하였다.

## 3. 實驗結果 및 考察

### 3-1 實驗 Data 와 平衡相關

酢酸-水에 對하여 溶媒로써 1-butanol과 iso-propyl ether을 各各했을 境遇와 이들의 相異한 組成을 갖는 5種의 混合溶媒(1-butanol 對 iso-propyl ether의 容

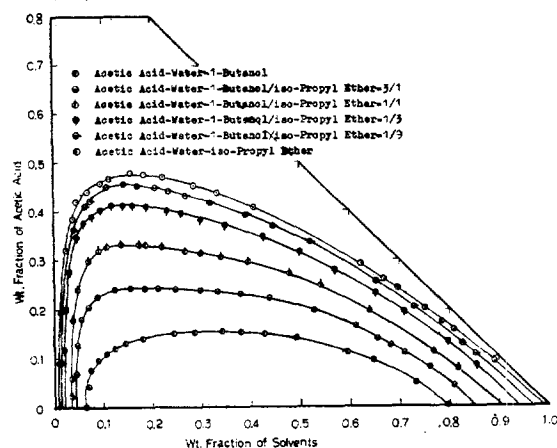


Fig. 2. Binodal Curves for Acetic Acid-Water-Mixed Solvents (1-Butanol/iso-Propyl Ether) Systems

終末點에 가까운 溶質-原溶媒-溶媒의 混濁液을 넣어 silicon-gum 마개를 하고 magnetic-stirrer로攪拌하여 가면서 恒溫水를 循環시켜 25.0°C로維持하였다. 그리고 끝에 注射針을 달아 小液滴을 滴加할 수 있도록 改造한 Micropipet를 고무마개에 插入하고 이로 부터 溶質를 滴加하여 潑點이 없어지는 點에서 滴加를 中止하고 이 溶液을 0.5°C降低시켜 다시 潑點이 생기면

積比가 3:1, 1:1, 1:3, 1:9를 各各했을 境遇에 液-液相互溶解度와 tie-line data는 Table 2에 表示하였으며 그 binodal curve는 Fig. 2에, 分配曲線은 Fig. 3에 比較表示하였다.

本平衡 data를 Othmer<sup>7)</sup>, Hand<sup>8)</sup>, Bachman<sup>9)</sup>, Hirata-Fujita<sup>11)</sup>等의 plot를 하여 보았으나 Hirata-Fujita의 plot가 제일 直線性이 좋았다. (Fig. 4)

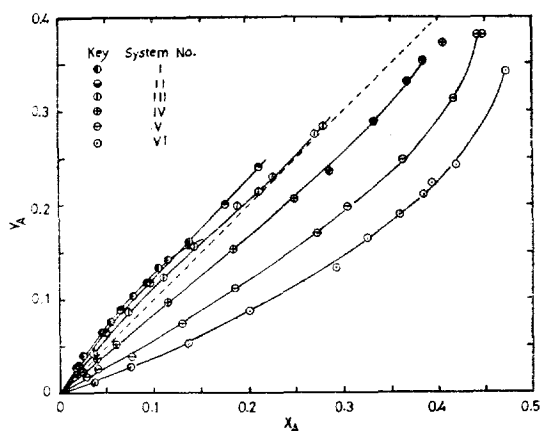


Fig. 3. Distribution of Acetic Acid Between Water and Solvent

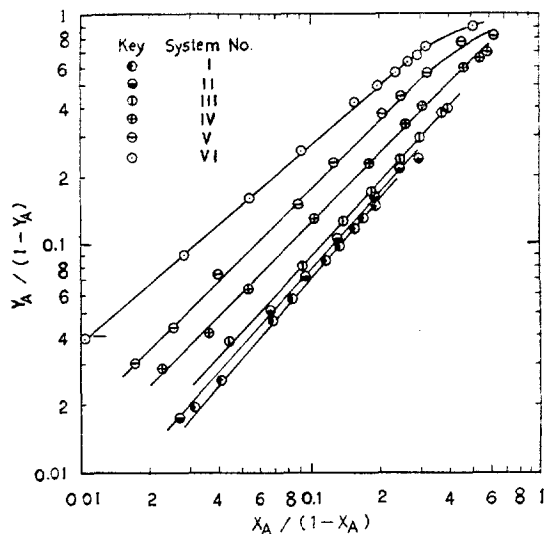


Fig. 4. Log Plot of  $Y_A/(1-Y_A)$  against  $X_A/(1-X_A)$

Table 2. Mutual Solubility and Tie-Line Data at 25°C., Wt. Fraction

System I. Acetic acid-Water-1-Butanol

Mutual Solubility

Acetic acid	Water	Solvent
0.050	0.218	0.732
0.096	0.258	0.646
0.112	0.295	0.593
0.143	0.366	0.491
0.150	0.424	0.426
0.154	0.469	0.377
0.155	0.505	0.340
0.153	0.562	0.285

0.150	0.606	0.244
0.140	0.680	0.180
0.131	0.724	0.145
0.120	0.758	0.122
0.110	0.785	0.105
0.096	0.816	0.088
0.077	0.850	0.073
0.042	0.887	0.071

Tie-Line Data

$Y_A$	Solvent Layer			Water Layer		
	$Y_B$	$Y_C$	$X_A$	$X_B$	$X_C$	
0.029	0.205	0.766	0.018	0.910	0.072	
0.039	0.212	0.749	0.025	0.904	0.071	
0.063	0.231	0.706	0.045	0.883	0.072	
0.075	0.242	0.683	0.055	0.871	0.074	
0.103	0.276	0.621	0.078	0.842	0.080	
0.118	0.302	0.580	0.091	0.817	0.088	
0.134	0.345	0.521	0.105	0.792	0.104	
0.142	0.370	0.488	0.115	0.764	0.116	
0.156	0.454	0.390	0.138	0.694	0.168	

System II. Acetic acid-Water-Mixed Solvent of 1-Butanol and iso-Propyl ether (volume ratio of 3:1)

Mutual Solubility Data

Acetic acid	Water	Solvent
0.042	0.148	0.810
0.080	0.160	0.760
0.108	0.183	0.709
0.125	0.192	0.683
0.141	0.204	0.655
0.166	0.222	0.612
0.197	0.275	0.528
0.224	0.339	0.437
0.232	0.391	0.377
0.237	0.431	0.332
0.240	0.463	0.297
0.243	0.511	0.246
0.242	0.574	0.184
0.242	0.635	0.123
0.227	0.685	0.088
0.206	0.724	0.070
0.180	0.760	0.060
0.126	0.825	0.049
0.069	0.885	0.046

## Tie-Line Data

Solvent Layer			Water Layer		
$Y_A$	$Y_B$	$Y_C$	$X_A$	$X_B$	$X_C$
0.023	0.144	0.836	0.017	0.938	0.045
0.063	0.158	0.779	0.049	0.907	0.044
0.088	0.168	0.744	0.066	0.890	0.044
0.117	0.184	0.699	0.094	0.860	0.046
0.162	0.224	0.614	0.137	0.811	0.052
0.200	0.286	0.514	0.175	0.764	0.061
0.230	0.369	0.401	0.211	0.713	0.076

## System III. Acetic acid-Water-Mixed Solvent of 1-Butanol and iso-Propyl ether (volume ratio of 1:1)

## Mutual Solubility Data

Acetic acid	Water	Solvent
0.077	0.106	0.817
0.113	0.119	0.769
0.196	0.166	0.638
0.250	0.210	0.540
0.275	0.248	0.477
0.298	0.308	0.394
0.307	0.353	0.340
0.314	0.388	0.298
0.320	0.414	0.266
0.327	0.454	0.219
0.332	0.495	0.173
0.333	0.531	0.136
0.328	0.565	1.107
0.322	0.586	0.092
0.300	0.630	0.070
0.241	0.712	0.047
0.180	0.782	0.038
0.066	0.896	0.039
0.024	0.940	0.036

## Tie-Line Data

Solvent Layer			Water Layer		
$Y_A$	$Y_B$	$Y_C$	$X_A$	$X_B$	$X_C$
0.042	0.099	0.859	0.036	0.928	0.036
0.085	0.109	0.806	0.073	0.890	0.037
0.123	0.123	0.754	0.110	0.852	0.038
0.156	0.141	0.703	0.143	0.817	0.040
0.198	0.167	0.635	0.188	0.770	0.042
0.214	0.181	0.605	0.211	0.745	0.044
0.229	0.193	0.578	0.226	0.730	0.044
0.272	0.247	0.481	0.271	0.674	0.055
0.283	0.273	0.445	0.280	0.662	0.058

## System IV. Acetic acid-Water-Mixed Solvent of 1-Butanol and iso-Propyl ether (volume ratio of 1:3)

Mutual Solubility Data		
Acetic acid	Water	Solvent
0.085	0.057	0.860
0.132	0.071	0.797
0.195	0.095	0.710
0.233	0.116	0.651
0.280	0.152	0.568
0.316	0.186	0.498
0.349	0.226	0.425
0.375	0.278	0.348
0.398	0.344	0.258
0.411	0.401	0.188
0.412	0.428	0.160
0.415	0.468	0.117
0.405	0.502	0.093
0.379	0.561	0.060
0.349	0.605	0.046
0.280	0.689	0.031
0.202	0.775	0.023
0.117	0.865	0.018
0.051	0.932	0.017

## Tie-Line Data

Solvent Layer			Water Layer		
$Y_A$	$Y_B$	$Y_C$	$X_A$	$X_B$	$X_C$
0.022	0.050	0.928	0.025	0.959	0.016
0.051	0.054	0.895	0.060	0.922	0.018
0.096	0.060	0.844	0.115	0.866	0.019
0.515	0.078	0.767	0.183	0.794	0.028
0.206	0.100	0.694	0.249	0.723	0.028
0.235	0.116	0.649	0.285	0.683	0.032
0.288	0.153	0.559	0.333	0.625	0.042
0.320	0.184	0.496	0.370	0.572	0.058
0.373	0.378	0.349	0.408	0.492	0.100

## System V. Acetic acid-Water-Mixed Solvent of 1-Butanol and iso-Propyl ether (volume ratio of 1:9)

Mutual Solubility Data		
Acetic acid	Water	Solvent
0.108	0.039	0.853
0.127	0.045	0.828
0.205	0.066	0.729
0.257	0.089	0.654
0.339	0.142	0.519
0.372	0.182	0.446
0.394	0.214	0.392

0.418	0.263	0.319
0.433	0.296	0.271
0.443	0.321	0.236
0.449	0.342	0.209
0.453	0.375	0.172
0.459	0.396	0.145
0.450	0.442	0.108
0.423	0.503	0.074
0.412	0.524	0.064
0.365	0.592	0.043
0.205	0.774	0.021
0.092	0.895	0.013

## Tie-Line Data

$Y_A$	Solvent Layer			Water Layer		
	$Y_B$	$Y_C$	$X_A$	$X_B$	$X_C$	
0.010	0.010	0.980	0.038	0.953	0.009	
0.028	0.011	0.963	0.081	0.906	0.013	
0.052	0.016	0.932	0.136	0.848	0.016	
0.084	0.021	0.895	0.201	0.778	0.021	
0.134	0.030	0.836	0.292	0.682	0.026	
0.164	0.038	0.798	0.326	0.646	0.028	
0.189	0.045	0.766	0.360	0.605	0.035	
0.242	0.064	0.694	0.420	0.522	0.058	
0.342	0.120	0.538	0.473	0.387	0.140	

## Tie-Line Data

Solvent Layer			Water Layer		
$Y_A$	$Y_B$	$Y_C$	$X_A$	$X_B$	$X_C$
0.015	0.022	0.963	0.030	0.921	0.050
0.038	0.026	0.936	0.071	0.917	0.012
0.073	0.031	0.896	0.130	0.856	0.014
0.112	0.140	0.848	0.186	0.794	0.020
0.169	0.053	0.778	0.272	0.701	0.027
0.198	0.063	0.739	0.305	0.664	0.031
0.248	0.084	0.668	0.362	0.596	0.042
0.313	0.120	0.567	0.420	0.509	0.079
0.382	0.192	0.426	0.446	0.446	0.108

## System VI. Acetic acid-Water-iso-Propyl ether

## Mutual Solubility Data

Acetic acid	Water	Solvent
0.092	0.016	0.892
0.155	0.037	0.808
0.172	0.043	0.785
0.200	0.050	0.750
0.241	0.064	0.695
0.291	0.086	0.623
0.408	0.187	0.405
0.437	0.230	0.333
0.453	0.262	0.285
0.470	0.307	0.223
0.476	0.340	0.184
0.466	0.420	0.114
0.458	0.445	0.097
0.441	0.488	0.071
0.423	0.520	0.057
0.383	0.575	0.042
0.321	0.651	0.028
0.196	0.787	0.017
0.093	0.894	0.013

## 3-2 溶媒의 最適混合比

抽出에 있어서溶媒의選擇에는 여러가지要求되는特性이 있지만 가장重要한性質은溶質을 많이溶解함과同時に原溶媒를可能한限小量溶解하여 함으로分配係數가 커야하며同時に溶質과原溶媒의分離能力을表示하는選擇度가 커야한다. 따라서從來에는適合한溶媒를選擇하기 위하여는豫想되는溶媒에對한分配係數와選擇度를各各比較하여 이것들이 둘다크다고생각되는溶媒를最適溶媒로選擇하였다.<sup>12)</sup>

그러나混合溶媒의境遇에는分配係數는 Fig. 5와같이混合溶媒中1-butanol의增加에 따라增加하나選擇度는 Fig. 6과같이混合溶媒中iso-propyl ether

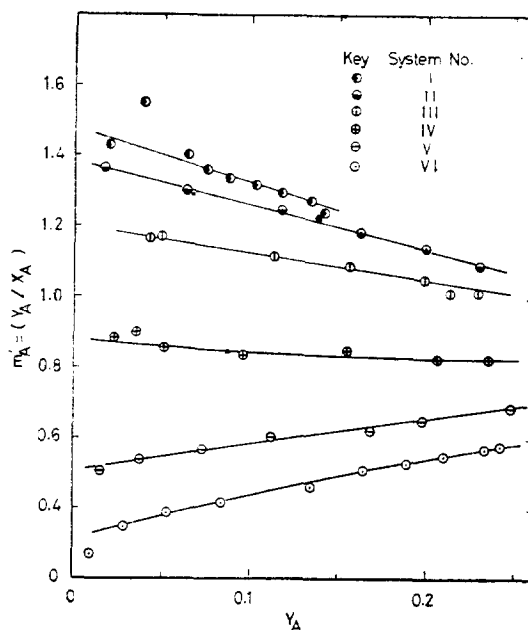


Fig. 5. Distribution Coefficient of Acetic Acid Between Water and Solvent

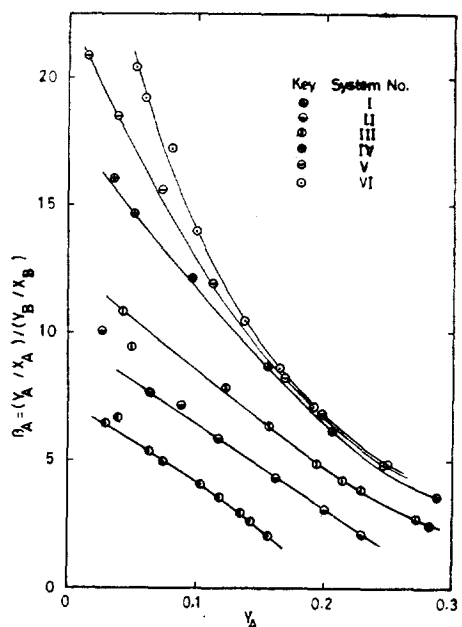


Fig. 6. Selectivity of Solvents for Acetic Acid

의增加에 따라增加함으로兩圖만으로는最適混合比를決定할수없다. 그래서著者は 다음과 같은 새로운方法을案出했다. 即分配係數와選擇度가同時에크면分配係數와選擇度의積( $m_A' \times \beta_A$ )도큰값을나타낼것임으로 $m_A' \times \beta_A$ 의값이最大가되는混合溶媒의混合比를最適混合比로하였다. 本研究에서는實驗data의內挿에서얻은溶質濃度 $y_A$ 에대한 $m_A' \times \beta_A$

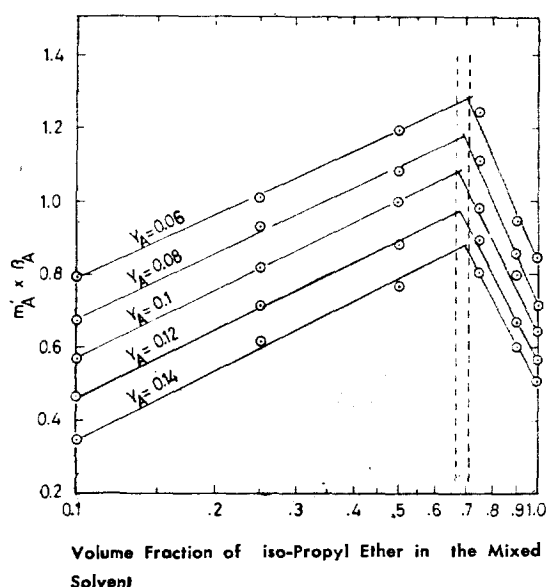


Fig. 7. Product of Distribution Coefficient and Selectivity

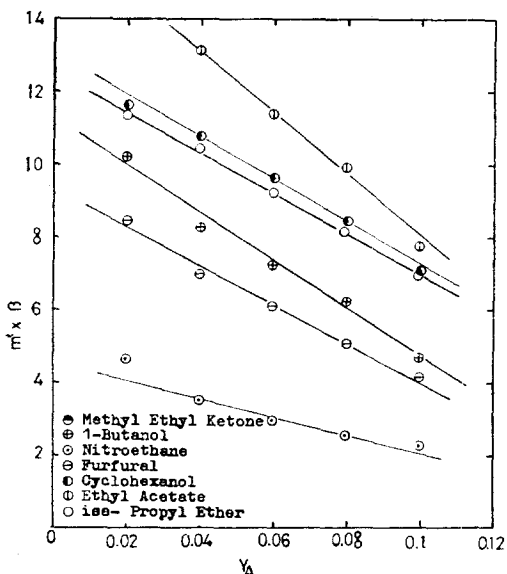


Fig. 8. Product of the Distribution Coefficient and the Selectivity

對混合比를 Fig. 7과같이plot하면모든 $y_A$ 에對하여 $m_A' \times \beta_A$ 의最高值를갖는混合比의값이iso-propyl ether  $69 \pm 2$  vol %에서最高值를나타내므로이값은最適混合組成이다.

本方法은單一溶媒의選擇에도適用할수있다. 그例로써 Skrzec-Murphy<sup>4)</sup>와 Othmer-White<sup>5)</sup>의data를使用하여各溶媒에對한 $y_A$ 對 $m_A' \times \beta_A$ 를plot하면Fig. 8에表示한바와같이ethyl acetate의 $m_A' \times \beta_A$ 가最高값을나타내므로이중에서最適溶媒는ethyl acetate이다. 이結果는 Fujita-Dohata<sup>12)</sup>가 같은data를利用하여 $m_A'$ 對 $y_A$ 와 $\beta_A$ 對 $y_A$ 圖를各各比較하여ethyl-acetate의 $m_A'$ 와 $\beta_A$ 가各各크기때문에ethyl acetate가最適溶媒라고判定한것과一致한다. 이로써分配係數와選擇度를各各比較하는것보다오히려 $m_A' \times \beta_A$ 를比較하여溶媒를選擇하는것이 더便利함을알았다.

#### 4. 結 言

酢酸-水에對하여1-butanol과iso-propyl ether을各各溶媒로했을境遇와이溶媒들의混合物을溶媒로했을境遇에液液相互溶解度와平衡data를25.0°C에서測定하였다.

本tie-line data를混合溶媒도1成分처럼看做하여Fujita-Hirata의plot를하면直線성이良好했다.混合溶媒에있어서그最適比는 $m_A' \times \beta_A$ 對混合比를

plot 하여  $m_A' \times \beta_A$  값의 最高值를 나타내는 混合比로定하는 새로운 方法을 提案했다. 本實驗에서 이 方法으로 求한 最適混合比는 1-butanol-iso-propyl ether의 混合溶媒에서 iso-propyl ether의 69 ± 2 vol. % 일때이다. 또 이 方法은 單一溶媒를 選擇하는 境遇에도 適用할 수 있다.

#### 後記

本研究는 仁荷產業科學技術研究所의 研究費에 의하여 이루워졌기에 이에 謝意를 表하며, 이 實驗에 助力해준 金在雄 君에게 感謝한다.

#### Nomenclature

X=Weight fraction in the raffinate phase (water layer)

Y=Weight fraction in the extract phase (solvent layer)

$m'$ =Distribution coefficient

B>Selectivity

#### Subscript

A=Solvent (acetic acid)

B=Diluent (water)

C=Solvent (organic acid)

#### Literature Cited

- 1) Treybal, R. E.; "Liquid Extraction", 2nd, p546,

McGraw-Hill, New York, 1963.

- 2) Yosita, M. T., Y. R. Mori; "Unit Operation", Vol. II, P354, Asakura, Tokyo, 1967.
- 3) Riddick, J. A., E. E. Toops, Jr.; "Organic Solvents", 2nd, p45-95, Interscience Publishers, Inc., New York, 1955.
- 4) Skrzec, A. E., N. F. Murphy; *Ind. Eng. Chem.*, **46** 2245(1954).
- 5) Othmer, D. F., R. E. White and E. Trueger; *Ind. Eng. Chem.*: **33** 1241(1941).
- 6) Weiser, R. B., C. J. Geanhoplis; *Ind. Eng. Chem.*, **47** 858 (1955).
- 7) Treybal, R. E.; "Liquid Extraction", 2nd, P26 McGraw-Hill, New York, 1963.
- 8) Othmer, D. F., P. E. Tobias; *Ind. Eng. Chem.*, **34** 693(1942).
- 9) Hand, D. B.; *J. Phys. Chem.*, **34** 1961 (1930).
- 10) Bachman, I.; *Ind. Eng. Chem., Anal. Ed.*, **12** 38 (1940).
- 11) Hirata, M., S. Fujita; *Kagaku Kogaku*; **21** 201 (1957).
- 12) Fujita, S., H. Dohata; "Chemical Engineering", Vol. 3, p198, Tokyokagaku Togin, Tokyo, 1967.

